

Основные технические данные

Диапазоны принимаемых волн (частот):

ДВ	200 ... 735,3 м (150 ... 408 кГц)
СВ	571,4 ... 186,9 м (525 ... 1605 кГц)
КВ	75,9 ... 51,7 м (3,95 ... 5,8 МГц)
КВ IV	51,7 ... 48,4 м (5,8 ... 6,2 МГц)
КВ III	42,8 ... 41,2 м (7,0 ... 7,3 МГц)
КВ II	31,6 ... 30,6 м (9,5 ... 9,8 МГц)
КВ I	25,6 ... 24,8 м (11,7 ... 12,1 МГц)
УКВ	4,56 ... 4,11 м (65,8 ... 73,0 МГц)

Чувствительность максимальная, не хуже:
с внутренней магнитной антенной в

диапазонах

ДВ	0,6 мВ/м
СВ	0,3 мВ/м

КВ	200 мкВ/м
УКВ	20 мкВ/м

Избирательность (при расстройке на ± 10 кГц), не менее

Ослабление сигнала зеркального канала в диапазонах, не менее:

ДВ	40 дБ
СВ	30 дБ
КВ	12 дБ

УКВ	32 дБ
-----	-------

Промежуточная частота тракта:

АМ	465 ± 2 кГц
ЧМ	$10,7 \pm 0,1$ МГц

Ширина полосы пропускания тракта ЧМ на уровне 6 дБ, не менее 120 ... 180 кГц
Регулировка тембра, не менее 8 дБ
Полоса воспроизводимых звуковых частот, не хуже:

ДВ, СВ, КВ	100 ... 4000 Гц
УКВ	125 ... 10 000 Гц

Регулировка громкости, не менее 50 дБ
Выходная мощность:

номинальная	0,4 Вт
максимальная	1,4 Вт

Источник питания 6 элементов типа 373 или

Напряжение питания	100 ... 4000 Гц
Ток покоя, не более	25 мА

Работоспособность приемника сохраняется при снижении напряжения питания до

Габаритные размеры	5,6 В
Масса	330 × 275 × 135 мм

Принципиальная схема (рис. 16) и конструкция (рис. 17) приемника построены по классической супергетеродинной схеме с раздельными трактами амплитудной и частотной модуляции по блочному принципу.

Блок УКВ (V_4) выполнен на интегральной микросхеме A_1 и варикатных матрицах V_2 , V_3 , V_5 . Сигнал с телескопической антенны через контакты 3—5 переключателя S_3 (V_2) поступает на вход блока УКВ (L_1 , C_1 , V_2). Для обеспечения хорошей добротности контура применено частичное включение антенны и частичное подключение к микросхеме. Перестройка контура по диапазону осуществляется варикапом V_2 . Сигнал с контура через конденсатор C_2 подается на вход микросхемы A_1 . Микросхема содержит каскодный усилитель высокой частоты (V_1 , V_2), гетеродин на транзисторах V_4 , V_6 и смеситель на транзисторах V_5 , V_7 . На транзисторе V_3 собран стабилизатор тока цепи базы V_2 . Нагрузкой усилителя высокой частоты служит контур

L_3 , L_4 , C_3 , C_6 , включенный частично через катушку связи. Перестраивается этот контур с помощью варикапа V_3 . Сигнал с УВЧ и напряжение гетеродина поступают на смеситель. Контур гетеродина состоит из катушки L_5 , L_6 , конденсаторов C_{13} , C_{16} и варикапа V_5 , с помощью которого этот контур перестраивается. Через катушку связи L_5 и контакт J_1 микросхемы гетеродинный контур связан с коллектором транзистора усилителя обратной связи. Диод V_1 в контуре УВЧ служит для ограничения амплитуды больших входных сигналов. Варикап V_4 , подключенный к контуру гетеродина через конденсаторы C_{14} , C_{15} , работает в системе автоматической подстройки частоты. Нагрузкой смесителя является контур ПЧ, образованный катушкой L_7 и конденсатором C_{12} . Контур ПЧ настроен на частоту 10,7 МГц, которая подается на усилитель промежуточной частоты.

Для перестройки усилителя УКВ по диапазону на варикапы подается напряжение, изменяющееся от 1,6 до 16 В, преобразователем напряжения. Со стабилизатора напряжения V_2 , V_3 (V_2) через контакты 4—6, замыкающиеся при нажатии кнопки S_3 , на блок УКВ подается напряжение питания 5,3 В.

Усилитель промежуточной частоты тракта ЧМ выполнен на двух микросхемах A_1 , A_2 . Сигнал ПЧ с выхода блока УКВ через конденсатор C_1 поступает на микросхему A_1 , которая вместе с элементами подключения C_2 ... C_4 играет роль первого УПЧ. На четырех транзисторах микросхемы собраны два каскада усиления и эмиттерный повторитель. Сигнал НЧ поступает на вход (контакт J_1) первого каскада усиления, собранного на транзисторе V_1 с заземленным эмиттером. С коллектора этого транзистора сигнал подается на второй каскад усиления, который выполнен на транзисторах V_2 и V_3 по каскодной схеме и нагружен на эмиттерный повторитель (V_4). Конденсатор C_3 используется для частотной коррекции. С выхода первого УПЧ (контакт 8) сигнал через конденсатор C_5 поступает на ФСС (L_{2C6} , L_1 , L_{4C8} , L_5 , L_{6C10L7} , L_{8C12L9}). Связь между контурами емкостная (C_7 , C_9 , C_{11}). Избирательность по соседнему каналу обеспечивает ФСС. С входом второго УПЧ (A_2) последний контур ФСС связан через разделительный конденсатор C_{13} . Схема второго УПЧ аналогична схеме первого. С его выхода (контакт 8) сигнал поступает через конденсатор C_{19} на фильтр (L_{10C20} , L_{12C22}). Детектор сигнала ЧМ выполнен по симметричному дробного детектора на диодах V_3 и V_4 . Выпрямленный сигнал промежуточной частоты (V_1 , V_2 , C_{15}) поступает на схему индикации настройки. С выхода частотного детектора сигнал НЧ через конденсатор C_{27} поступает на эмиттерный повторитель (V_5), служащий для согласования высокого выходного сопротивления детектора и низкого входного сопротивления УНЧ.

Входные контуры ДВ, СВ и КВ с преобразователем частоты выполнены в виде отдельного блока (V_2). Входные цепи диапазонов ДВ и СВ образованы контурами катушек L_1 , L_3 с соответствующими катушками связи, размещенными на стержне магнитной антенны. При работе в диапазоне ДВ катушка L_1 через конденсатор C_6 (V_2) закорачивается на «землю». Катушка L_2 используется для связи с наружной антенной диапазонов ДВ и СВ. Связь входных контуров с входом УВЧ (A_1) индуктивно-емкостная (C_2 , C_3).

Входные цепи диапазонов КВ выполнены по схеме с автогенераторной связью с антенной и индуктивной связью с входом УВЧ. Для уменьшения влияния напряжения с частотой выше 20 МГц (мощные радиовещательные станции в диапазоне УКВ, которые создают помехи при приеме) в приемнике применен фильтр нижних частот ($L_{18C25R12}$).

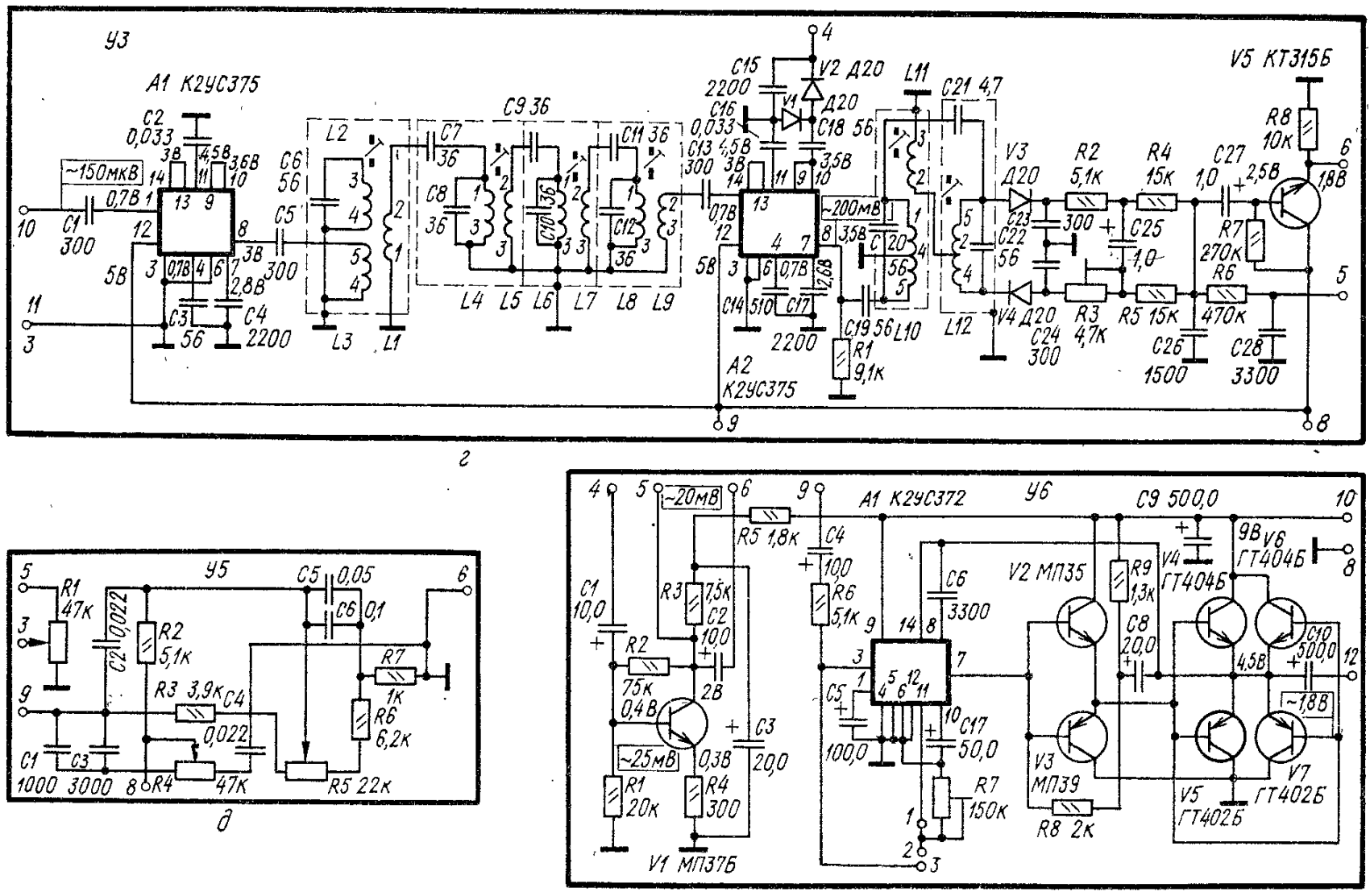
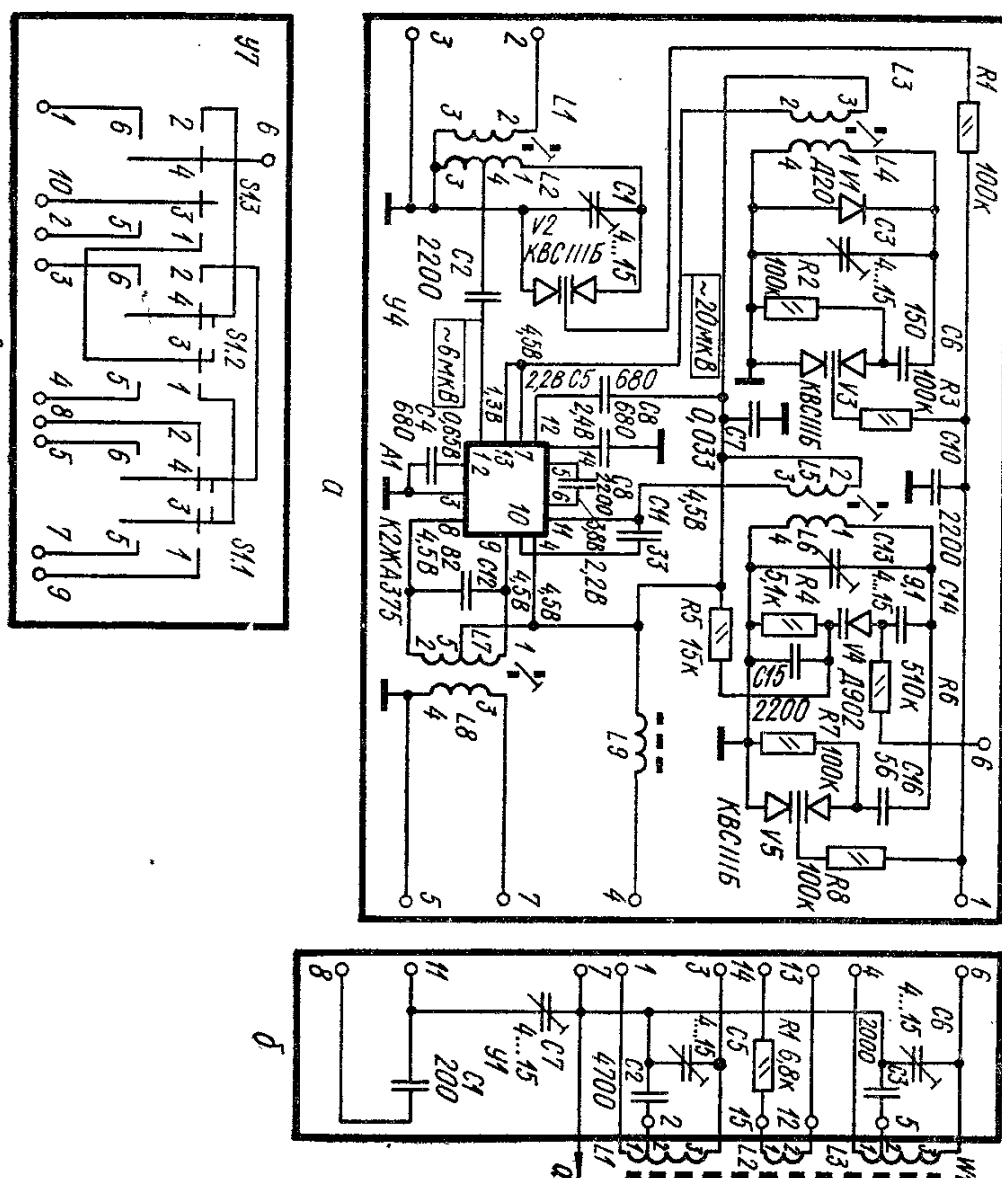
Преобразователь, гетеродин и усилитель промежуточной частоты сигнала АМ выполнены на двух интегральных микросхемах A_1 и A_2 . Микросхема A_1 , конденсаторы C_{27} ... C_{33} и резистор R_{14} выполняют функции УВЧ, гетеродина и смесителя. Сигнал с входного контура подается на контакт J микросхемы A_1 — вход УВЧ, а усиленный сигнал снимается с контакта J_4 . Связь гетеродина с контурами автогенератора выполнена на двух интегральных микросхемах A_1 и A_2 . Микросхема A_1 — вход УВЧ, а выходного контура (контакты 5, 8) подключена петочка R_{13C26} , подавляющая паразитные колебания в диапазонах КВ. Для этой же цели на ДВ и СВ служит резистор R_9 . Режекторный контур L_{19C32} ослабляет сигналы с частотой, равной промежуточной, снижая уровень собственных шумов УВЧ, а также способствуя повышению устойчивости работы микросхем по промежуточной частоте.

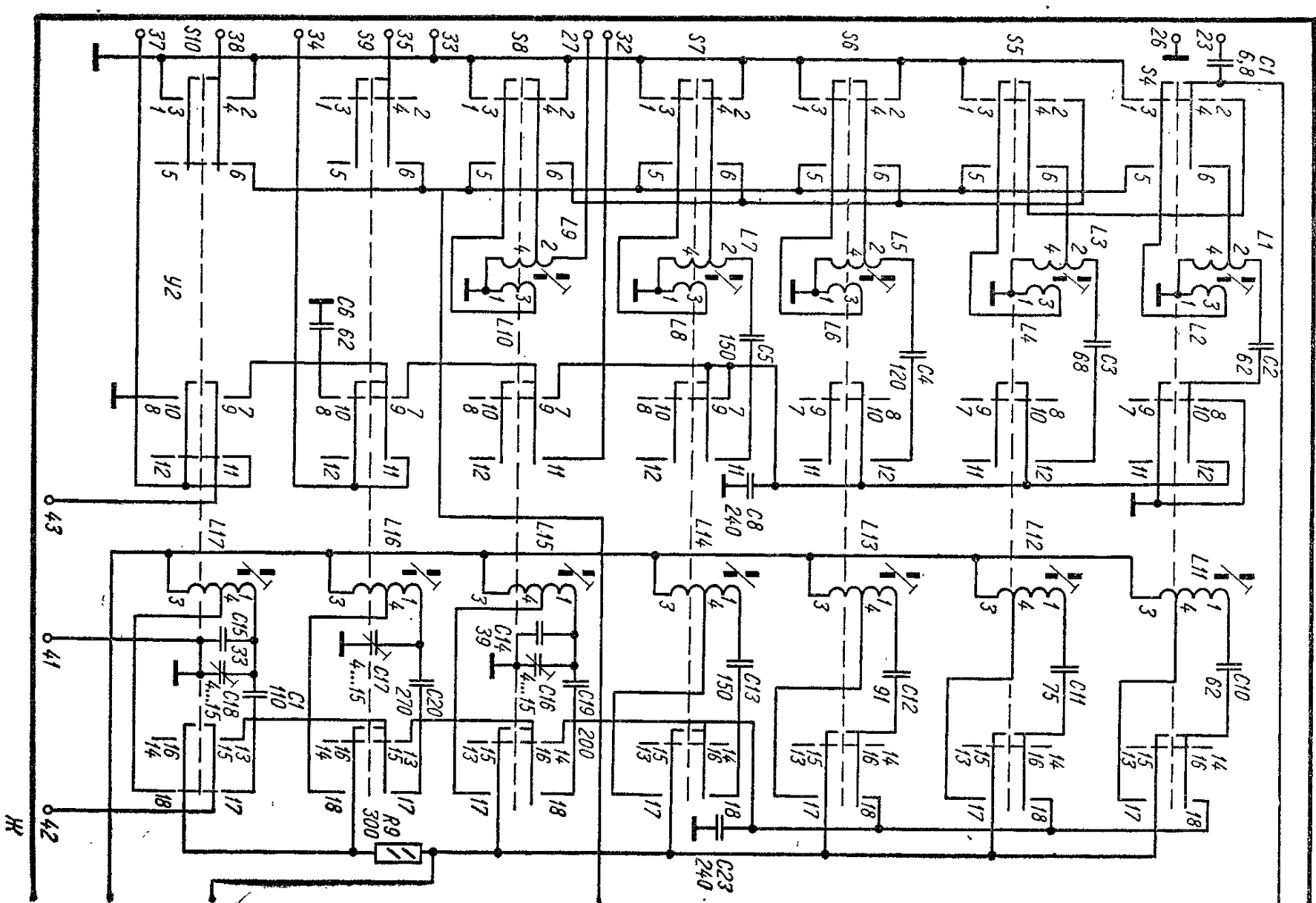
Интегральная микросхема A_2 с элементами подключения выполняет функции усилителя промежуточной частоты, детектора и усилителя АРУ. Сигнал ПЧ с пьезофильтра B_1 поступает на вход микросхемы A_2 (контакт 1) — базу транзистора V_1 первого (резонансного) каскада усиления ПЧ. Нагрузкой этого каскада является полосовой фильтр ($L_{22}C_{41}C_{42}$). С полосового фильтра сигнал ПЧ через конденсатор C_{40} подается на контакт 5 — вход трехкаскадного УПЧ. Весь усилитель охвачен глубокой отрицательной обратной связью (R_{16}). При помощи резистора R_{17} устанавливается рабочая точка транзистора V_4 и уменьшаются нелинейные искажения при детектировании. С детекторного выхода (контакт 9) сигнал НЧ через фильтр $R_{19}C_{44}$, контакты 8 и 10 переключателя S_3 , конденсатор C_{24} и регулятор громкости R_1 (Y_5) подается на вход УНЧ. Конденсатор C_{43} устраняет паразитное возбуждение на частотах, кратных промежуточной (930 и 1395 кГц).

Сигнал НЧ с детекторного выхода подается на базу транзистора (V_3) управляемого усилителя АРУ. Напряжение АРУ фильтруется цепочкой $R_{15}C_{35}$. Напряжение АРУ с микросхемы A_2 подается на микросхему A_1 (контакт 13).

Через резистор R_{22} к микросхеме A_2 подключена схема стабилизированного напряжения (V_4 , V_6 ... V_8). Питается эта схема стабилизированным напряжением 5,1 В от стабилизатора, выполненного на транзисторе V_5 . В качестве опорного напряжения на его базу подается выходное напряжение 5,3 В от стабилизатора V_2 , V_3 .

Индикатор включается переключателем S_1 . Если приемник не настроен на станцию, транзисторы V_4 и V_8 закрыты, транзисторы V_6 , V_7 открыты, горит лампочка H_1 , освещая красным светом оконшко индикатора. При точной настройке на принимаемую станцию напряжение, пропорциональное уровню несущей, подается через контакты 7, 9 (с детектора АМ) или 11, 9 (с детектора ЧМ) переключателя S_3 на базу транзистора V_4 , напряжение на его коллекторе уменьшается, транзисторы V_6 , V_7 закрываются, лампа H_1 гаснет. При этом на базе транзистора V_8 увеличивается напряжение, транзистор открывается, загорается лампа H_2 , освещая оконшко





индикатора зеленым светом. Терморезистор R_5 обеспечивает постоянство порога срабатывания при изменениях температуры.

Усилитель низкой частоты (V_6) выполнен на транзисторах $V_1 \dots V_7$ и микросхеме A_1 . Совместно с блоком резисторов и конденсаторов (y_5), где находятся подключенные ко входу регуляторы тембра по низким (R_5) и высоким (R_4) частотам, усилитель низкой частоты формирует частотную характеристику и обеспечивает выходную мощность до 1,4 Вт. Бюллонный каскад выполнен по схеме с общим эмиттером. Он охвачен глубокой обратной связью (R_2, R_4), обеспечивающей стабилизацию режима по напряжению и току. На вход этого каскада через конденсатор C_1 и резистор R_1

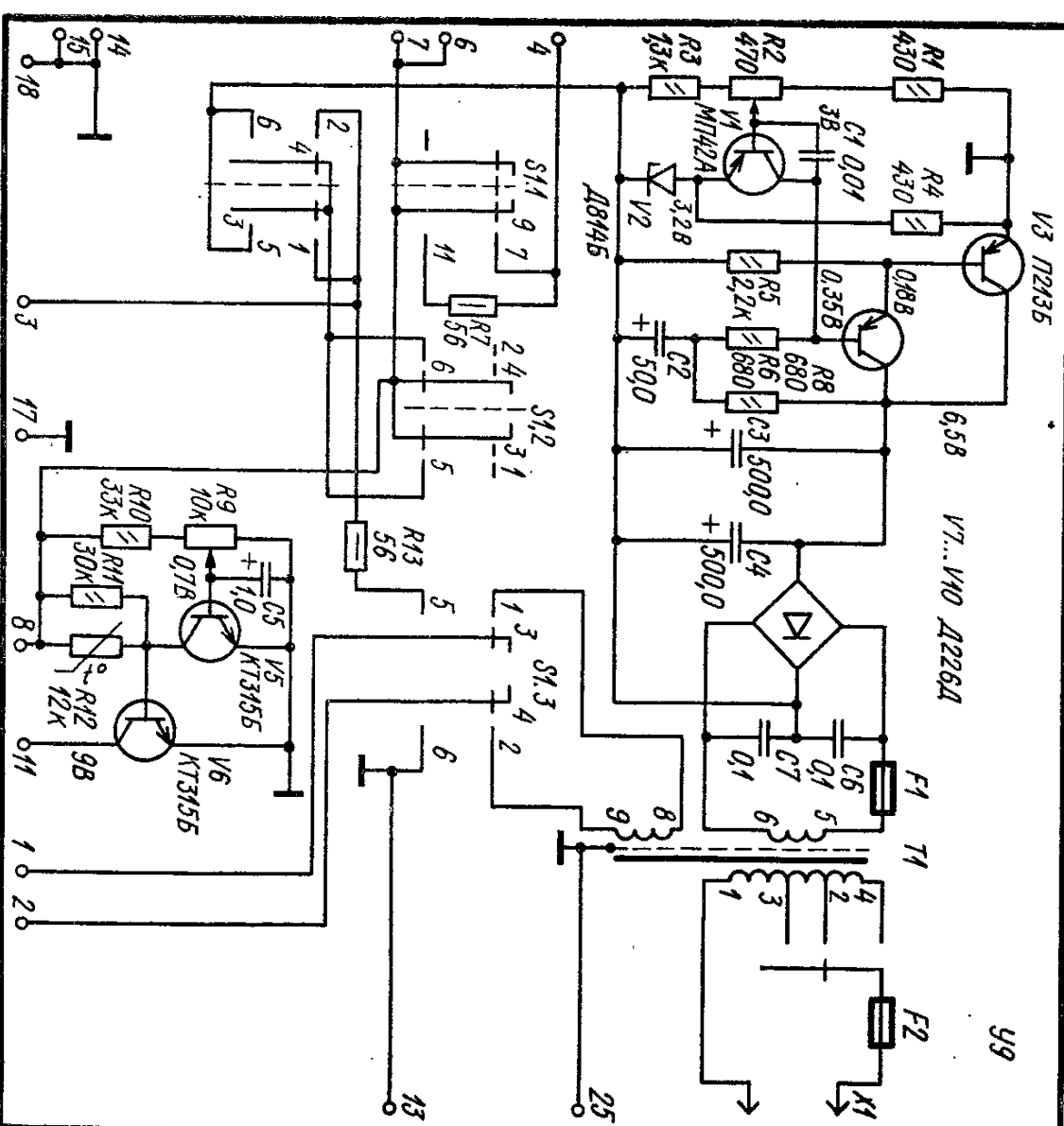


Рис. 16. Принципиальная электрическая схема приемника «Меридиан-210»:
 α — блок УКВ; β — блок конденсаторов; γ — блок переключателей; δ — блок УПЧ ЧМ;
 θ — блок регулировки тембра; ε — блок УНЧ; φ — блок КСДВ ПЧ; ϱ — преобразователь напряжения; π — блока питания

и

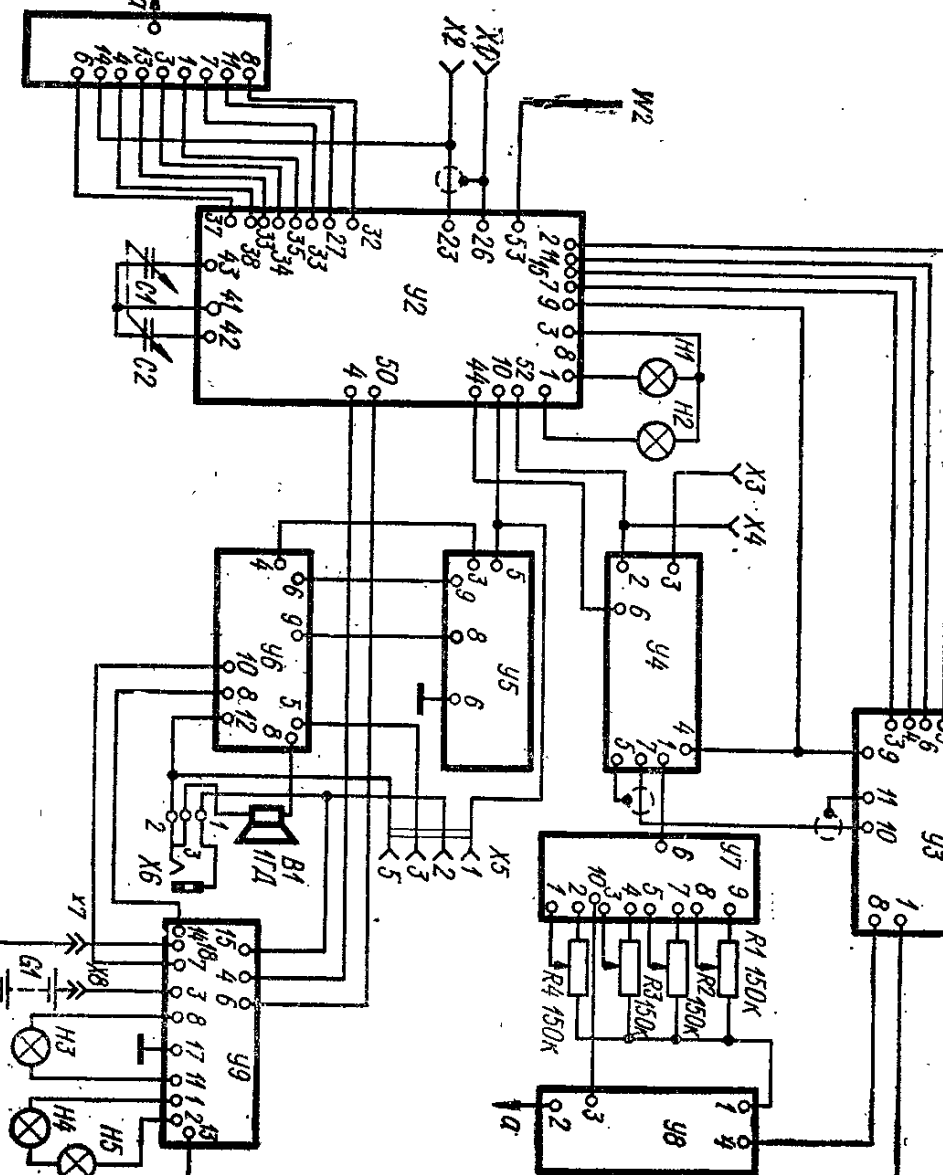


Рис. 17. Структурная схема приемника «Меридиан-210»

(y_5) подается сигнал НЧ с детектора. С коллектора транзистора V_1 через цепь регуляторов тембра (R_4, R_5) и цепочки C_4R_6 сигнал подается на вход микросхемы A_1 (контакт β). К этому же контакту (или контакту I_1) подключается симметрирующий резистор R_7 , позволяющий получить максимальную выходную мощность. Выходной сигнал предоконечного каскада усилителя (контакт 7 микросхемы A_1) подается на двухтактный выходной каскад, выполненный по бестрансформаторной схеме на транзисторах $V_2 \dots V_7$. Положительная обратная связь осуществляется цепочкой R_9C_8 . Для обеспечения симметрии выходного каскада при уменьшении напряжения питаения введена отрицательная обратная связь по постоянному и переменному току (C_5). Конденсатор C_6 служит для устранения самовозбуждения из-за паразитных связей, а C_7 — для сглаживания пульсаций напряжения источника питания.

Преобразователь напряжения (y_8) предназначен для питания варикальных магнитных блоков УКВ. Он состоит из генератора (V_4, T_1) и выпрямителя (V_6). Питающее напряжение 5,6 В поступает от стабилизатора V_2, V_3 (y_2) на коллектор транзистора V_1 . V_1 — управляемый транзистор стабилизатора. Транзистор V_3 , диод V_5 и конденсатор C_3 формируют опорное напряжение. Стабилизированное напряжение 3,5 В, снимаемое с эмиттера V_2 , питает генератор. Повышенное трансформатором T_1 напряжение, выпрямляется диодом V_6 и поступает через фильтр $C_6R_6C_7$ на управляемые элементы плавной и фиксированных настроек в диапазоне УКВ (y_7).

Встроенный блок питания ($V9$) питает радиоприемник постоянным напряжением 9 В . Он состоит из трансформатора $T1$, мостового выпрямителя ($V7 \dots V10$) и стабилизатора напряжения ($V1$, $V3$, $V4$). Стабилизатор напряжения выполнен по компенсационной схеме последовательного типа. Собранная на транзисторе $V1$ схема сравнения, она же усилитель постоянного тока, и регулирующий составной транзистор ($V3$, $V4$) работают следующим образом. В случае возрастания напряжения на выходе,растет ток базы транзистора $V1$, в результате чего увеличивается падение напряжения на резисторах $R6$, $R8$, уменьшается ток базы составного транзистора, увеличивается сопротивление между эмиттером и коллектором транзистора $V3$ и напряжение на этом участке. В результате выходное напряжение уменьшается.

срабатывающая при уменьшении напряжения батарей до 6 В. При этом загорается лампочка $H3$ на передней панели приемника. Напряжение срабатывания индикатора разряда батарей устанавливается резистором $R9$.

Для обеспечения нормальной работы приемника при понижении напряжения питания до 6 В блоки тракта УКВ, преобразователя частоты АМ тракта с индикатором настройки питаются стабилизированным напряжением 5,3 В от двухкаскадного стабилизатора ($V1 \dots V3$) ($U2$). Регулирующий элемент — транзистор $V3$. К его выходу подключена нагрузка. На транзисторе $V2$ выполнен усилитель постоянного тока. Величина выходного напряжения регулируется резистором $R3$.

Конструкция и детали. Корпус приемника состоит из деревянного каркаса, расположенного перед панелью и задней крышкой. Передняя панель и задняя крышка изготовлены из цветного полистирола с гальванической металлизацией пластмассы и декоративных перфорированных лицевых решеток.

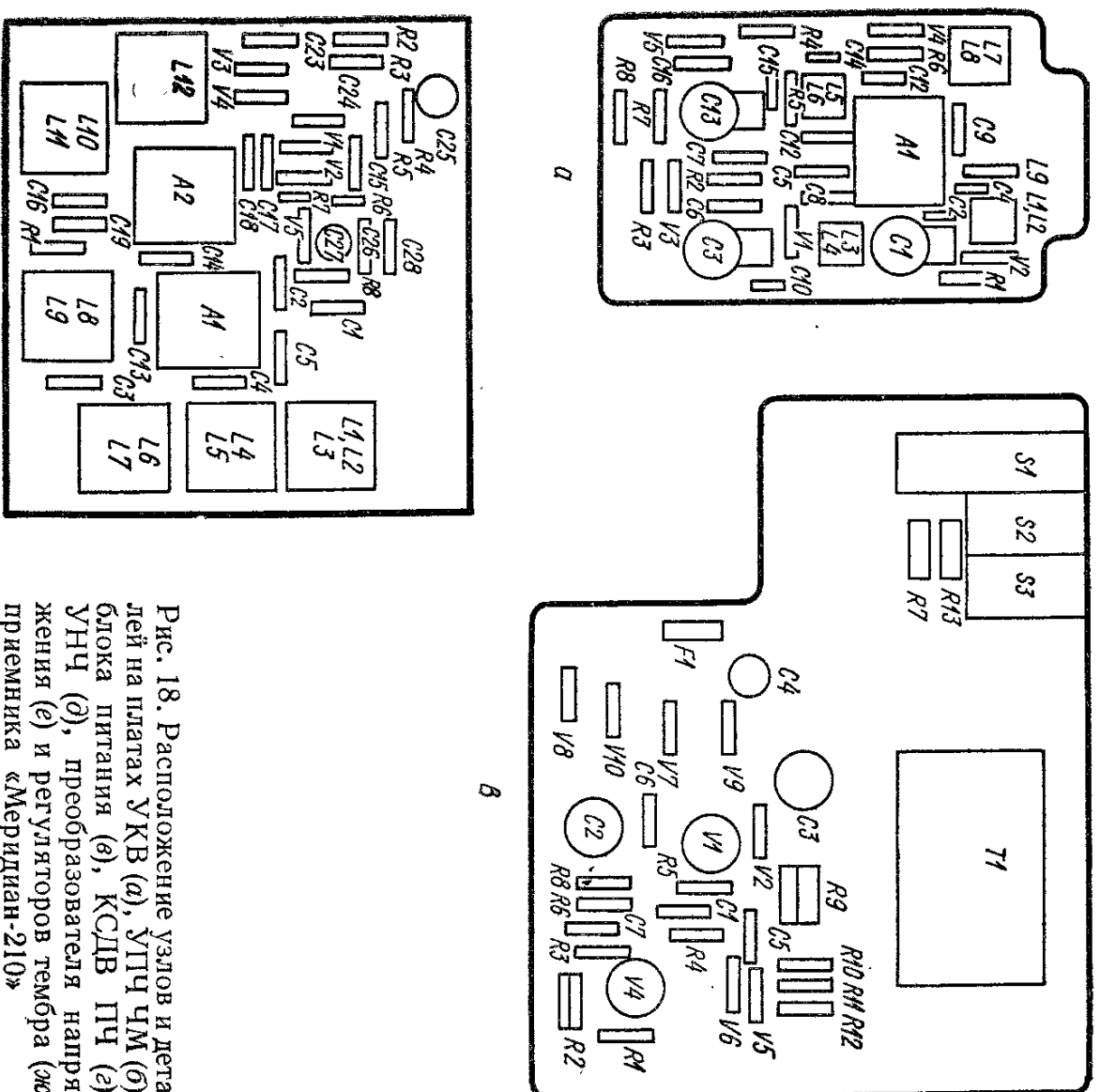
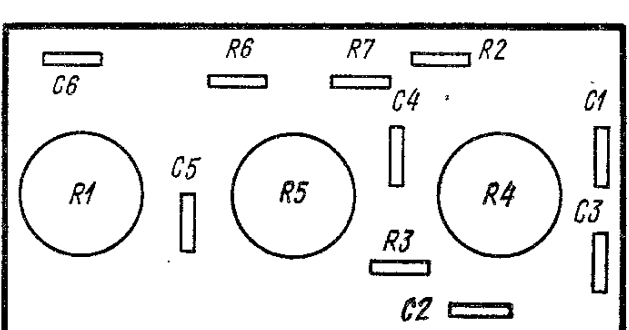
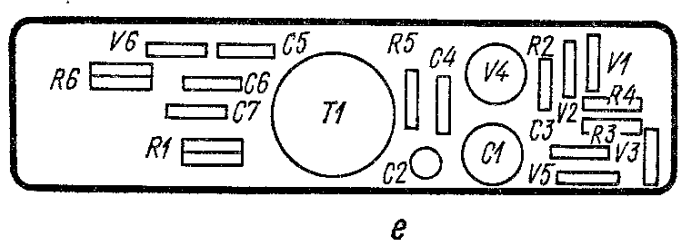
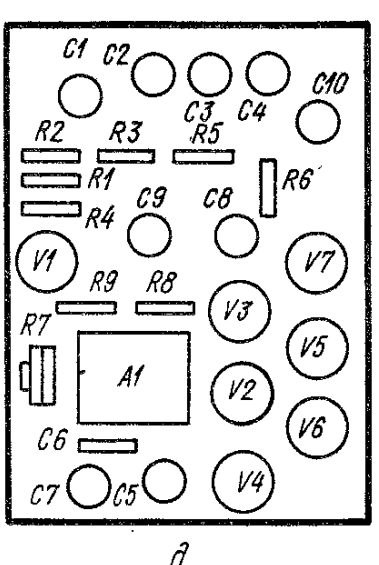
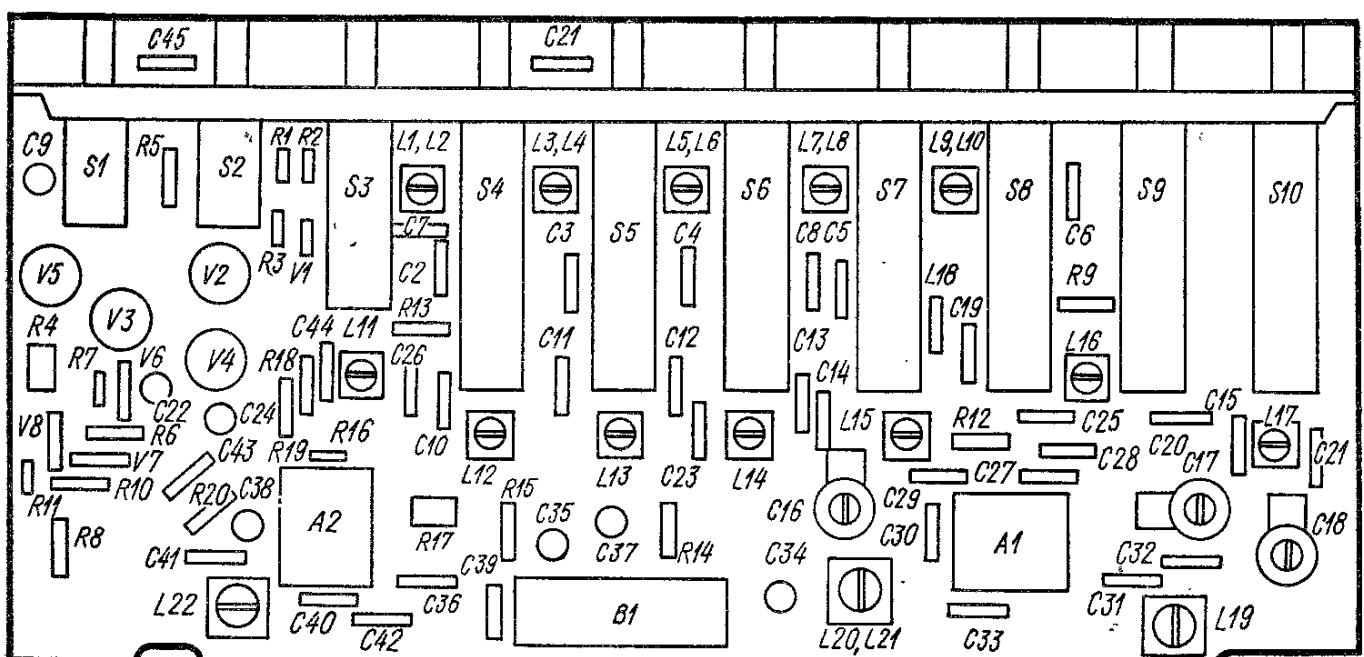


Рис. 18. Расположение узлов и деталей на платах УКВ (а), УПЧ ЧМ (б), блока питания (в), КСДВ ПЧ (г), УНЧ (д), преобразователя напряжения (е) и регуляторов тембра (ж) приемника «Меридиан-210»



7. Данные катушек индуктивности радиоприемника «Меридиан-210»

Обозначение по схеме	Катушка	Номер вывода	Блок УКВ	Марка и диаметр провода, мм	Число витков	Индуктивность, мкГ \pm 10%	Номер распайки (прил. 6)
L1	Антennaя	2—3	ПЭЛЛО 0,15	1,5	5+1 3/4	0,2	39
L2	УВЧ	1—4—3	ММ 0,41	2	6 3/4	0,22	
L3	Связи	3—2		2	5 3/4	0,2	
L4	УВЧ	1—4		2	5 3/4	0,2	
L5	Связи	2—3		2	5 3/4	0,2	
L6	Гетеродинная	1—4		2	5 3/4	0,2	
L7	ПЧ ЧМ	1—5—2	ПЭВ-2 0,1	10+10	3	4,5	40
L8	Связи	3—4	ПЭЛЛО 0,15	10+10	3	4,5	
Блок УПЧ ЧМ							
L2	ФСС1	3—4	ПЭВ-2 0,23	26	1	4,5	
L3	Связи	1—2		26	1	4,5	
L4	Связи	5—4		26	1	4,5	
L5	ФСС2	1—3		26	1	4,5	
L6	Связи	2—3		26	1	4,5	
L7	ФСС3			26	1	4,5	
L8	Связи			26	1	4,5	
L9	ФСС4	1—3		26	1	4,5	
L10	Связи	2—3		26	1	4,5	
L11	ФПЧ ЧМ	1—4—5	ПЭЛЛО 0,15	17+8,5	14		
L12	Диодного контура ЧМ	5—2—4	ПЭВ-2 0,23	13+13			
Блок преобразователя частоты							
L1	Входная КВI	2—4—I	ПЭЛЛО 0,15	7,5+9	1,5	2,4	
L2	Связи	1—3		7,5+12	2,5	3,9	
L3	Входная КВII			7,5+16	2,5	5,0	42
L4	Связи			7,5+16	3,5	6,0	
L5	Входная КВIII			9,5+20	3,5	9,6	
L6	Связи						
L7	Входная КВIV						
L8	Связи						
L9	Входная КВV						
L10	Связи						

Продолжение табл. 7

Обозначение по схеме	Катушка	Номер вывода	Марка и диаметр провода, мм	Число витков	Индуктивность, мкГ \pm 10%	Номер распайки (прил. 6)
L11	Гетеродинная КВI	I—4—3	ПЭВ-2 0,15	4+9,5	2,0	
L12	Гетеродинная КВII			5+10,5	2,6	
L13	Гетеродинная КВIII			7+14,5	5,2	
L14	Гетеродинная КВIV					
L15	Гетеродинная КВV			9+15,5	6,7	43
L16	Гетеродинная СВ			ПЭВ-2 0,1		
L17	Гетеродинная ДВ			105+35	155	
L18	Фильтра-пробки	I—2		208+52	490	
L19	Фильтра-пробки			219	850	
L20	ФПЧ АМ1	I—3—2				
L21	Связи	5—4		86+86	134	43
L22	ФПЧ АМ2	I—5		120	257	
Блок МА						
L1	Антennaя СВ	I—2—3	ПЭЛЛО 0,15	7+72	1500	44
L2	Связи	I—2	ПЭВ-2 0,15	35		45
L3	Антennaя ДВ	I—2—3	ПЭЛЛО 0,15	7+212	3500	46
Конструктивной базой приемника является металлическое шасси, на котором крепят все узлы. Монтаж выполнен по принципу функциональных блоков, что позволяет производить настройку каждого блока в отдельности.						
На шасси размещены блоки: преобразователя частоты, УКВ, УПЧ, УНЧ, преобразователь, блок питания, магнитная антenna и индикатор настройки. В блоках преобразователя, блоке питания, УКВ, УПЧ, УНЧ, преобразователя и блока питания применен печатный монтаж (рис. 18).						
Органы управления приемником расположены на лицевой панели. Колодки для подключения магнитофона и телефона находятся на правой боковой стенке корпуса, а гнезда для подключения внешних антенн — на задней стенке корпуса.						
Входные катушки диапазонов ДВ и СВ размещены на круглом стержне из феррита 400НН, диаметром 10 мм и длиной 200 мм. Каркасы входных, гетеродинных катушек и фильтров ПЧ изготовлены из полистирола. Настройка контуров КВ и фильтров ПЧ ЧМ производится ферритовыми сердечниками марки 100НН длиной 14 мм и диаметром 2,8 мм, а контуров гетеродина ДВ и СВ — ферритовыми сердечниками марки 600НН длиной 12 мм и диаметром 2,8 мм. Катушки контуров ПЧ АМ помещены в чашки из феррита марки 400НН, размерами 12×10×7,1 мм. Подстроенный сердечник — марки 600НН длиной 12 мм и диаметром 2,8 мм.						
Штыревая телескопическая антenna состоит из восьми звеньев и шарнирного устройства, обеспечивающего любое положение в вертикальной плоскости от 0 до						

На органах управления приемником расположены на лицевой панели. Колодки для подключения магнитофона и телефона находятся на правой боковой стенке корпуса, а гнезда для подключения внешних антенн — на задней стенке корпуса. Входные катушки диапазонов ДВ и СВ размещены на круглом стержне из феррита 400НН, диаметром 10 мм и длиной 200 мм. Каркасы входных, гетеродинных катушек и фильтров ПЧ изготовлены из полистирола. Настройка контуров КВ и фильтров ПЧ ЧМ производится ферритовыми сердечниками марки 100НН длиной 14 мм и диаметром 2,8 мм, а контуров гетеродина ДВ и СВ — ферритовыми сердечниками марки 600НН длиной 12 мм и диаметром 2,8 мм. Катушки контуров ПЧ АМ помещены в чашки из феррита марки 400НН, размерами 12×10×7,1 мм. Подстроенный сердечник — марки 600НН длиной 12 мм и диаметром 2,8 мм.

Штыревая телескопическая антenna состоит из восьми звеньев и шарнирного устройства, обеспечивающего любое положение в вертикальной плоскости от 0 до

180°. С помощью втулки с четырьмя фиксированными положениями можно поворачивать антенну в горизонтальной плоскости от 0 до 360°. Антenna расположена внутри корпуса приемника и крепится к кронштейну винтом М3. Блок переключателя диапазонов типа П2К.

В приемнике применены: резисторы R_7 , $R_{13}(Y9)$, R_{12} , $R_{15}(Y2)$ — типа МЛТ, $R_{12}(Y9)$ — типа ММТ, $R_5(Y2)$ — типа СТ-1, R_2 , $R_7(Y9)$, R_1 , $R_6(Y8)$, R_7 , $R_{21}(Y2)$, $R_7(Y6)$, $R_3(Y3)$, R_1 , R_4 , $R_5(Y5)$, R_1 ... R_4 (шасси) — типа СП3, остальные типа ВС-0, 125; конденсаторы $C_2(Y5)$ — типа БМ-2, C_1 , C_3 , $C_4(Y5)$, C_3 , $C_2(Y1)$, C_1 , C_6 , $C_7(Y9)$, C_3 ... $C_7(Y8)$, C_5 , C_7 , C_8 , C_{19} , C_{20} , C_{23} , C_{27} , C_{28} , C_{30} , C_{33} , C_{39} ... $C_{44}(Y2)$, C_7 , C_8 , $C_{17}(Y4)$, C_2 , C_{14} , C_{16} , $C_{28}(Y3)$ — типа КЛС, C_5 ... $C_7(Y1)$, C_{16} ... $C_{18}(Y2)$, C_2 , C_4 , $C_{14}(Y4)$ — типа КПК-МП, C_3 , C_5 , C_6 , C_9 ... C_{12} , C_{15} , $C_{16}(Y4)$, C_{15} , C_{17} , $C_{18}(Y3)$, C_7 , $C_{45}(Y2)$ — типа КД, $C_1(Y1)$, C_1 ... C_4 , C_6 , C_{10} ... C_{15} , C_{21} , C_{25} , C_{26} , C_{29} , C_{31} , C_{32} , $C_{36}(Y2)$, $C_{13}(Y4)$, $C_6(Y6)$, C_1 , C_3 ... C_{13} , C_{19} ... C_{24} , $C_{26}(Y3)$ — типа КТ, C_5 , $C_6(Y5)$ — типа МБМ, остальные — типа К50.

Данные катушек индуктивности приведены в табл. 7, а силового трансформатора — в табл. П4 приложения 1.